



УДК 547.963.3:577.113.6

## СЕНСИБИЛИЗИРОВАННАЯ ФОТОМОДИФИКАЦИЯ ДНК БИНАРНЫМИ СИСТЕМАМИ II\*. СПЕКТРАЛЬНАЯ СВЕТОЧУВСТВИТЕЛЬНОСТЬ. ОДНО- И ДВУХКВАНТОВАЯ СЕНСИБИЛИЗАЦИЯ

© 1997 г. М. И. Добриков<sup>#</sup>, С. А. Гайдамаков\*, А. А. Кошкин,  
Н. П. Лукьянчук, Г. В. Шишкун, В. В. Власов

Новосибирский институт биоорганической химии СО РАН,  
630090, Новосибирск, просп. Академика Лаврентьева, 8;

\*Институт молекулярной патологии и экологической биохимии СО РАМН, Новосибирск

Поступила в редакцию 08.08.96 г. Принята к печати 08.01.97 г.

Изучена спектральная зависимость эффективности фотомодификации при облучении длинноволновым УФ-светом одноцепочечной ДНК-мишени декануклеотидным производным *n*-азидотетрафторбензамида (прямая фотомодификация) и его комплексами с декануклеотидными производными пирена, комплементарными соседнему участку мишени (сенсибилизированная фотомодификация). Сенсибилизация фотомодификации происходит в основном за счет синглет-синглетного переноса энергии с пирена на азид при сближении их в комплементарном комплексе, что позволяет значительно увеличить скорость и степень фотомодификации. При одновременном облучении и УФ- и видимым светом в диапазоне 365–580 нм впервые обнаружена двухквантовая триплет-триплетная сенсибилизация, которая приводит к еще большему ускорению фотомодификации мишени и к изменению ее позиционной направленности с остатка G<sup>11</sup> на T<sup>13</sup>. Изменение типа сенсибилизации при смене условий облучения позволяет регулировать реакционную способность бинарной системы олигонуклеотидных производных, не меняя ее состава.

**Ключевые слова:** *перфторарилазиды, двухквантовая сенсибилизация, перенос энергии, сенсибилизированная фотомодификация ДНК.*

Фотореакционноспособные производные олигонуклеотидов являются перспективными реагентами для модификации биополимеров, поскольку обладают преимуществами по сравнению с химически активируемыми реагентами. Они позволяют инициировать фотореакцию под действием внешнего мягкого воздействия – света – в любой заданный момент времени. При возбуждении фотоактивные группы превращаются в короткоживущие высокореакционноспособные частицы, способные реагировать с ближайшими группами биополимеров [2, 3].

Для комплементарно-адресованной фотомодификации нукleinовых кислот из фотоактивных групп чаще всего применяются псоралены [2, 4] и ароматические азиды [3, 5, 6]. Последние отличаются высоким квантовым выходом фотодиссоциации и легкостью синтеза [3]. Из них наиболее эффективными оказались перфторарилазиды [5–8], однако введение в них четырех ато-

мов фтора приводит к гипсохромному сдвигу максимума поглощения [5]. Для батохромного смещения спектральной чувствительности перфторарилазидов в видимую область ранее нами была предложена синглет-синглетная сенсибилизация 9-аминоакридином [9].

Для увеличения специфичности воздействия на определенные последовательности ДНК были сконструированы бинарные системы олигонуклеотидных реагентов, между которыми при сближении в комплементарном комплексе может осуществляться перенос энергии [10]. Показано, что сенсибилизированная таким переносом энергии фотомодификация ДНК-мишени протекает значительно быстрее и более эффективно, чем несенсибилизированная.

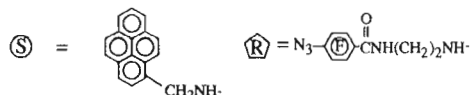
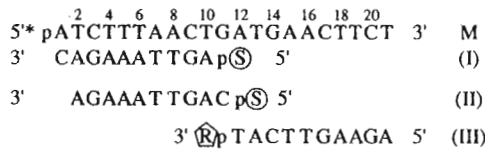
В настоящей работе мы исследовали спектральную зависимость фотомодификации ДНК-мишени олигонуклеотидным реагентом (прямая фотомодификация) и его бинарными системами (сенсибилизированная фотомодификация), а также условия реализации одно- и двухквантовой сенсибилизации.

\* Сообщение I см. [1]. Префикс "d" в обозначениях дезоксирибоолигонуклеотидов опущен.

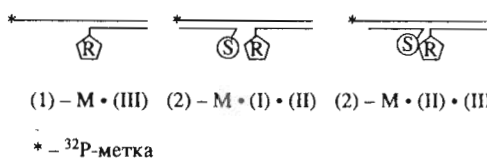
<sup>#</sup> Автор для переписки.

Исследованная система состояла из одноцепочечной ДНК-мишени (M) и комплементарных ей олигонуклеотидных производных, несущих остатки сенсибилизатора – пиренил-1-метиламина (S) и фотопротеина – *n*-азидотетрафторбензамидо-N-этиламина (R). Состав ДНК-мишени, олигонуклеотидов, образуемых ими комплексов и строение сенсибилизатора и фотопротеина представлены на схеме.

## Олигонуклеотиды и их производные



## Изученные комплексы



Выбор бинарной системы олигонуклеотидных реагентов (длина олигонуклеотидов-адресов, расположение сенсибилизатора на 5'-концевом фосфате производных (I) и (II), фотопроявления на 3'-концевом фосфате производного (III), а также длина линкера между сенсибилизатором и олигонуклеотидом-адресом) обоснован в работе [1]. Следует отметить, что производные *n*-азидотетрафторбензойной кислоты при облучении УФ-светом генерируют в основном синглетный нитрен [11, 12]. Олигонуклеотидные производные этого фотопроявляющегося реагента позволяют проводить высокоэффективную комплементарно-адресованную фотомодификацию нуклеиновых кислот [5–8]. Максимум поглощения *n*-азидотетрафторбензойной кислоты находится в области 260 нм ( $\epsilon = 18000 \text{ M}^{-1} \text{ cm}^{-1}$ ), хотя известно, что малоинтенсивное поглощение  $n\pi^*$ -перехода ароматической азидогруппы простирается до 430 нм [13]. Благодаря этому поглощению и существует возможность сенсибилизации фотолиза перфторарилазида R за счет безызлучательного переноса энергии с пирена.

Ранее [10] по гашению флуоресценции пирена при образовании комплексов типа (2) и (3) (схема) были оценены константы ассоциации ( $K_a$ ) в зависи-

симости от состава реакционной смеси. Исходя из этих данных были выбраны следующие условия проведения фотомодификации: [M] 100 нМ, концентрация каждого олигонуклеотидного производного (I)–(III) – 50 мкМ, pH 7.5 и температура 20°C. В этих условиях мишень полностью находится в составе комплексов (1)–(3).

На рис. 1 представлены типичные результаты фотомодификации ДНК-мишени олигонуклеотидом (III): прямой (а) и сенсибилизированной в присутствии олигонуклеотида (II) (б). В обоих случаях наблюдается образование двух ковалентных аддуктов – (Х) и (Y), обладающих меньшей электрофоретической подвижностью, чем радиоактивномеченая мишень. Появление этих аддуктов при прямой фотомодификации происходило после облучения в течение 30 мин и более (рис. 1, б), в то время как при сенсибилизированной фотомодификации аддукты регистрировались уже после 15 с облучения (рис. 1, а).

Следовательно, в данных условиях начальная скорость сенсибилизированной фотомодификации в комплексе (3) примерно в 100 раз больше, чем прямой. Эти данные согласуются с ранее полученными результатами [10] по сенсибилизированной фотомодификации ДНК-мишени М другим олигонуклеотидным фотореагентом, несущим *n*-азидотетрафторбензальгидразоногруппу.

Для определения оптимальных условий облучения была изучена зависимость дозы облучения, необходимой для модификации ДНК-мишени на 10% [14], от длины волны облучения. Результаты показали (рис. 2), что и прямая и сенсибилизированная фотопреакции инициируются светом с длиной волны до 440 нм, но при облучении светом с длиной волны выше 300 нм значение  $E_{0.1}^{-1}$  прямой фотомодификации резко падает, а для сенсибилизированной фотомодификации остается достаточно высокой во всем исследованном диапазоне длин волн (300–440 нм).

Из этих данных можно сделать вывод, что присутствие сенсибилизатора в бинарной системе позволяет увеличить фотоактивность модификации при облучении в полосе поглощения азива R, но не дает возможность расширить спектральный диапазон выше 440 нм. Это согласуется с условием, необходимым для осуществления синглет-синглетного переноса энергии: спектр поглощения акцептора-фотореагента должен перекрываться со спектром люминесценции донора-сенсибилизатора [15].

Из рис. 3 видно, что спектры возбуждения (кривая 1) и испускания (кривая 2) олигонуклеотидного производного (II) являются практически зеркальным отражением друг друга и имеют характерную для производных пирена колебательную структуру. Для определения условия облучения,

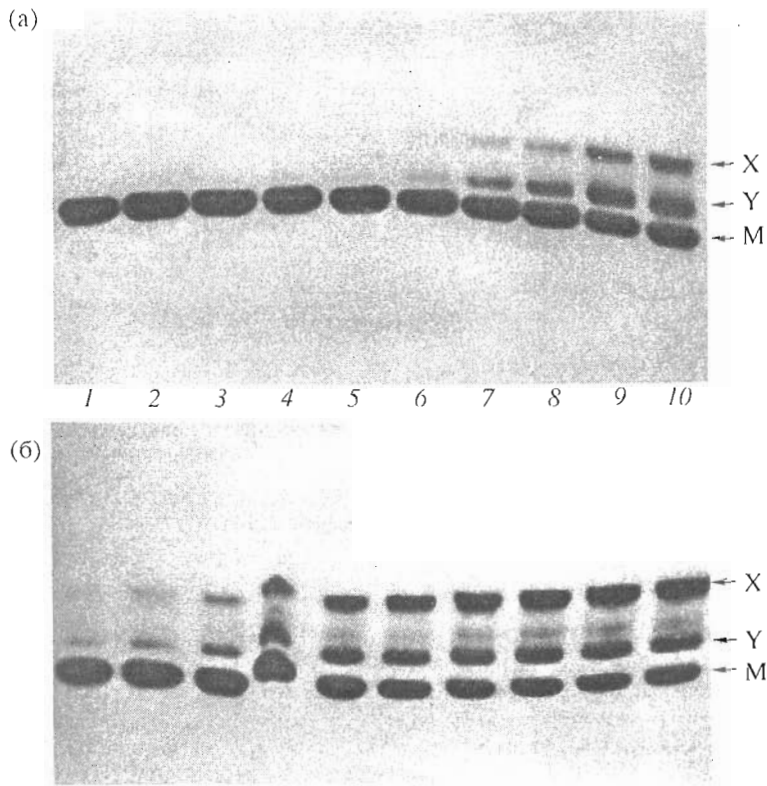


Рис. 1. Радиоавтограф геля, полученного при электрофоретическом анализе продуктов прямой (а) и сенсибилизированной в комплексе (3) (б) фотомодификации олигонуклеотидом (III)  $5'$ - $^{32}\text{P}$ -меченой ДНК-мишени после облучения светом в диапазоне 330–390 нм; концентрации: мишени 100 нМ, олигонуклеотидов (II), (III) – по 50 мкМ,  $t$ : 20°C. Время облучения длинноволновым УФ-светом (мин): 0.25 (1), 0.5 (2), 1 (3), 3 (4), 10 (5), 30 (6), 90 (7), 150 (8), 300 (9), 450 (10).

при которых осуществляется наиболее эффективный перенос энергии, интересно определить зависимость соотношения начальных скоростей сенсибилизированной и прямой фотомодификации ( $v_0^s / v_0^d$ ) ДНК-мишени от длины волны облучения. Хотя перенос энергии с сенсибилизатора на фотопротеин возможен только после поглощения света сенсибилизатором, длина волны, соответствующая максимуму соотношения начальных скоростей ( $v_0^s / v_0^d$ ) фотомодификации мишени, не совпадает с максимумом его поглощения (рис. 3, 3), но совпадает с 0,0-полосой флуоресценции ( $E_{0,0}^s = 76.9$  ккал/моль [16]) пирена (см. ниже). Совпадение максимума отношения ( $v_0^s / v_0^d$ ) с 0,0-полосой синглет-синглетного перехода ( $S_1 \rightarrow S_0$ ) позволяет предположить, что сенсибилизированная фотомодификация ДНК-мишени фотопротеином осуществляется в основном за счет синглет-синглетного переноса энергии с пирена.

В случае синглет-синглетной сенсибилизации после поглощения кванта УФ-света ( $h\nu_1$ ) молекула сенсибилизатора возбуждается в  $S_1$ -состояние, из которого термодинамически разрешен

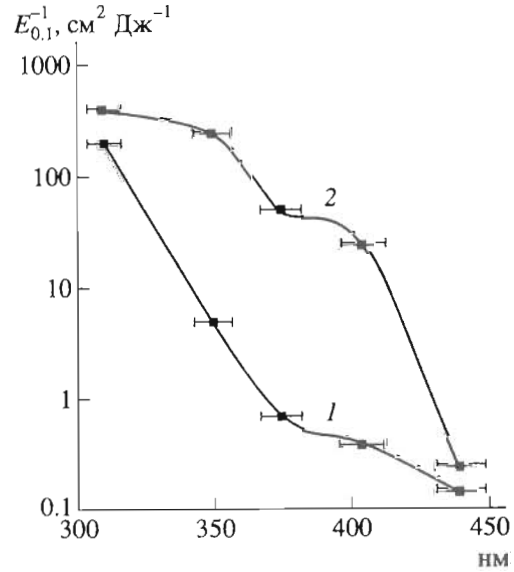
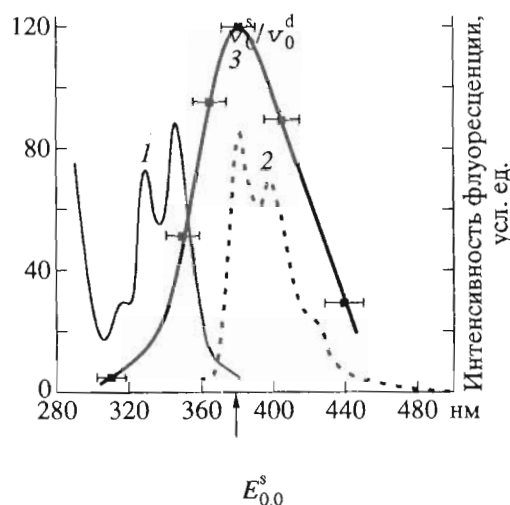


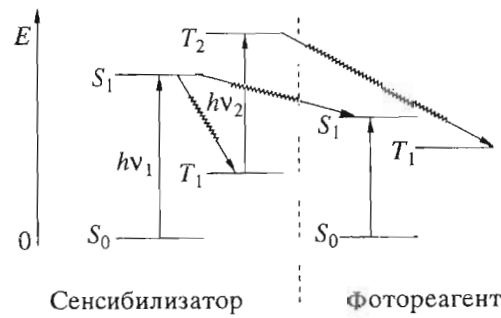
Рис. 2. Зависимость энергии, необходимой для фотомодификации ДНК-мишени на 10% ( $E_{0,1}^{-1}$ ), от длины волны облучения ( $\lambda$ ) при проведении прямой и сенсибилизированной фотопротеином модификаций: 1 – прямая модификация в дуплексе (1); 2 – сенсибилизированная модификация в комплексе (3). Указаны интервалы длин волн облучения с использованными светофильтрами.



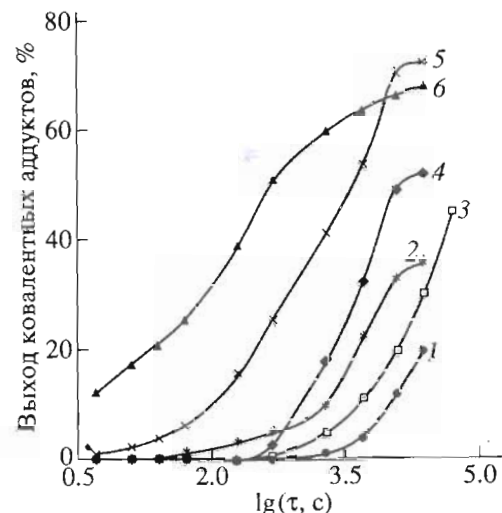
**Рис. 3.** Спектрально-люминесцентные свойства олигонуклеотидного сенсибилизатора – производного (II) (1, 2) и зависимость отношения начальных скоростей ( $v_0^s / v_0^d$ ) накопления ковалентных аддуктов при сенсибилизированной (s) и прямой (d) фотомодификации ДНК-мишени олигонуклеотидом (III) (3). Условия те же, что на рис. 1. 1 – спектр возбуждения при  $\lambda_{\text{em}}$  378–378 нм; 2 – спектр испускания при  $\lambda_{\text{ex}}$  344–348 нм.

синглет-синглетный перенос энергии на  $S_1$ -уровень фотопроявляющего агента (рис. 4). Далее в темновой стадии возбужденный фотопроявляющий агент диссоциирует на азот и синглетный нитрен, который способен реагировать с ДНК-мишенью, образуя стабильные аддукты, характерные для этой электрофильной частицы.

Известно, что в этаноле при 293 К квантовый выход интеркомбинационной конверсии пирена в триплетное состояние ( $\Phi_{\text{ISC}} = 0.37$ ) сопоставим с квантовым выходом флуоресценции ( $\Phi_F = 0.65$ ) [17]. Помимо этого пирен обладает интенсивным триплет-триплетным поглощением в видимой области. Из табл. 1 видно, что время жизни триплетного состояния ( $\tau_T = 0.5$  с при 77 К в бескислородных условиях) достаточно велико и пирен, находясь в этом состоянии, способен поглотить второй квант, в данном случае видимого света ( $h\nu_2$ ), и перейти на более высокие триплетные уровни (рис. 4). Энергии возбужденных триплетных уровней пирена ( $E(T_2) = 77.8$ ,  $E(T_3) = 85$  и  $E(T_4) = 102$  ккал/моль [16]), которые заселяются при облучении видимым светом, намного больше, чем энергия триплетного уровня азота ( $E(T_1) = 68$  ккал/моль [13]). Следовательно, триплет-триплетный перенос энергии с сенсибилизатора на  $T_1$ -уровень фотопроявляющего агента термодинамически разрешен и должен протекать с диффузионно контролируемой скоростью. Далее возбужденный за счет триплет-триплетного переноса энергии азот ( $R^*$ ) диссоциирует на азот и триплетный нитрен, который образует продукты



**Рис. 4.** Диаграмма Яблонского для графического отображения основных и возбужденных электронных состояний сенсибилизатора и фотопроявляющего агента.



**Рис. 5.** Выход ковалентных аддуктов (%) при проведении прямой (1, 3, 4) и сенсибилизированной фотомодификации (2, 5, 6) в зависимости от времени облучения в диапазоне длин волн, нм: 400–580 (1, 2), 365–390 (3, 5), 365–580 (4, 6).

модификации с ДНК-мишенью, характерные для этой бирадикальной частицы. В принципе по этим продуктам фотомодификации ДНК-мишени можно определить, какой из механизмов сенсибилизации преимущественно реализуется.

Кинетические кривые накопления ковалентных аддуктов при проведении прямой и сенсибилизированной фотомодификации ДНК-мишени при различных условиях облучения (рис. 5) свидетельствуют о том, что облучение смешанным светом (УФ и видимым) в диапазоне 365–580 нм ускоряет прямую фотомодификацию почти в 100 раз по сравнению с облучением в УФ-диапазоне 365–390 нм (кривые 4 и 3 соответственно) – вероятнее всего, за счет увеличения интенсивности УФ-света. В то же время облучение в диапазоне 365–580 нм ускоряет сенсибилизированную

**Таблица 1.** Спектрально-люминесцентные свойства пирена; энергии возбужденных уровней  $E(S_1)$ ,  $E(T_1)$ ,  $E(T_2)$  (ккал/моль), максимумы ( $\lambda$ , нм) и молярные коэффициенты поглощения ( $\epsilon$ ,  $M^{-1} \text{ см}^{-1}$ ) электронных переходов, квантовые выходы флуоресценции ( $\Phi_F$ ) и интеркомбинационной конверсии ( $\Phi_{ISC}$ ), времена жизни флуоресценции ( $\tau_F$ , нс) и фосфоресценции ( $\tau_T$ , с)

$S_0 \longleftrightarrow S_n$ -переходы					$S \longrightarrow T$ -переходы		$T_1 \longleftrightarrow T_n$ -переходы				
$\lambda$	$\epsilon$	$E(S_1)$	$\Phi_F$	$\tau_F$	$\Phi_{ISC}$	$\tau_T$	$\lambda$	$\epsilon$	$E(T_1)$	$E(T_2)$	Литература
341	37000	76.9	0.65	530	0.37	0.5	415, 520	48200, 12500	48.3	77.8	16 17 18*

\* При 77 К в бескислородных условиях.

фотомодификацию в комплексе (3) примерно в 300 раз по сравнению с облучением в диапазоне 365–390 нм и вызывает некоторое снижение максимального выхода ковалентных аддуктов с 73 до 69% (кривые 6 и 5). Облучение только видимым светом в диапазоне 400–580 нм приводит к резкому снижению скорости прямой и сенсибилизированной фотомодификации (кривые 1 и 2). При облучении более длинноволновым видимым светом в диапазоне 470–580 нм не наблюдается ни прямой, ни сенсибилизированной фотомодификации ДНК-мишени (данные не представлены).

Следовательно, одновременное облучение и УФ- и видимым светом вызывает более значительное увеличение скорости сенсибилизированной фотомодификации по сравнению с прямой и сопровождается некоторым снижением выхода ковалентных аддуктов. Эти данные позволяют предположить наличие еще одного механизма сенсибилизации фотомодификации ДНК-мишени.

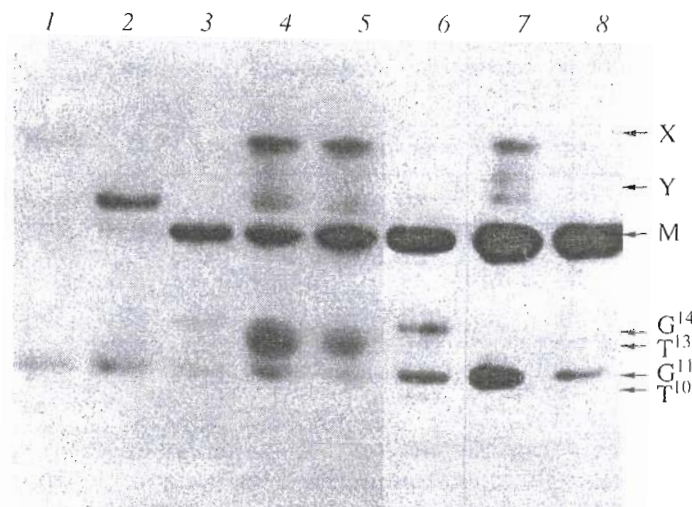
Чтобы более точно выявить влияние длины волны облучения на скорость фотомодификации, были сопоставлены начальные скорости накопления ковалентных аддуктов при прямой и сенсибилизированной фотомодификации при облучении в указанных выше диапазонах длин волн (табл. 2).

Оказалось, что начальная скорость сенсибилизированной фотомодификации выше, чем начальная скорость прямой: при облучении видимым светом (400–580 нм) – в 10 раз, при облучении УФ-светом (365–390 нм) – в 59 раз и при одновременном облучении УФ- и видимым светом (365–580 нм) – в 315 раз. Такое значительное ускорение сенсибилизированной фотомодификации при облучении в диапазоне 365–580 нм при несколько сниженном выходе ковалентных аддуктов (рис. 5, 6) объясняется тем, что возможен и другой, даже более эффективный механизм сенсибилизации. Таким механизмом может быть днукватовая триплет-триплетная сенсибилизация [17], энергетическая диаграмма которой представлена на рис. 4.

Поскольку при триплет-триплетном переносе энергии должна генерироваться бирадикальная частица – триплетный нитрен, обладающий отличной от электрофильного синглетного нитрина реакционной способностью [19], это должно приводить к изменению позиционной направленности сенсибилизированной фотомодификации. Известно, что пиридиновые основания более склонны к реакциям радикального характера, а пуриновые основания легче вступают в электрофильные реакции [20]. В связи с этим была изучена позиционная направленность прямой и сенсибилизированной фотомодификации мишени. Для этого облученные образцы обрабатывали пиперидином, что позволяет выявить модифицированные основания ДНК-мишени. Полученные данные представлены на рис. 6 и в табл. 3. Ковалентные аддукты Y и X, которые по электрофоретической подвижности предположительно могут быть продуктами присоединения соответственно одного и двух олигонуклеотидных производных (III) к мишени, были выделены и обработаны пиперидином. При этом из аддукта X (рис. 6, I) образуются продукты, совпадающие по подвижности с аддуктом Y, мишенью, и наблюдается расщепление мишени по остатку G<sup>11</sup>. При обработке пиперидином аддукта Y (дорожка 2) происходит образование продукта, совпадающего по подвижности с мишенью, и расщепление ее по остатку G<sup>11</sup>.

**Таблица 2.** Начальные скорости накопления ковалентных аддуктов при прямой ( $v_0^d$ ) и сенсибилизированной ( $v_0^s$ ) фотомодификации ДНК-мишени и их отношение при облучении светом в разных диапазонах длин волн ( $\lambda$ , нм)

$\lambda$ , нм	365–390	400–580	365–580
$v_0^s, \text{мин}^{-1}$	0.13	0.011	4.1
$v_0^d, \text{мин}^{-1}$	0.0022	0.0011	0.013
$v_0^s/v_0^d$	59	10	315



**Рис. 6.** Радиоавтографы реакционных смесей пиперидинового расщепления продуктов прямой и сенсибилизированной фотомодификации 5'-<sup>32</sup>P-меченой ДНК-мишени в разных условиях облучения. Пиперидиновому расщеплению подвергали верхний аддукт (Х) (1) и нижний аддукт (Y) (2) после сенсибилизированной фотомодификации в дуплексе (3),  $\lambda$  365–390 нм,  $t$  180 мин. 3, 6 – G-специфичное расщепление ДНК-мишени. Сенсибилизированная фотомодификация в дуплексах (3) и (2) (дорожки 4, 5 соответственно),  $\lambda$  365–580 нм,  $t$  180 мин; в дуплексе (3),  $\lambda$  365–390 нм,  $t$  60 мин (7). 8 – прямая фотомодификация в дуплексе (1),  $\lambda$  365–580 нм,  $t$  60 мин.

При обработке пиперидином реакционных смесей, полученных при сенсибилизированной фотомодификации мишени в дуплексах (3) и (2) облучением в диапазоне 365–580 нм, расщепление мишени происходит в основном по остатку Т<sup>13</sup> и частично по остатку G<sup>11</sup> (дорожки 4, 5 соответственно). Прямая модификация в дуплексе (1) (дорожка 8) и сенсибилизированная в дуплексе (3) (дорожка 7) при облучении в УФ-диапазоне приводит к расщеплению мишени исключительно по остатку G<sup>11</sup>.

Во всех случаях при фотомодификации наблюдается образование стабильных и лабильных

к пиперидиновой обработке продуктов модификации ДНК-мишени. Суммарные степени сенсибилизированной модификации при облучении в диапазонах 365–390 и 365–580 нм практически одинаковы, но позиционные направленности пиперидинзависимой модификации заметно различаются.

Основной точкой прямой пиперидинзависимой модификации во всех диапазонах облучения является основание G<sup>11</sup>. Это говорит в пользу того, что во всех случаях, вероятнее всего, генерируется одна и та же реакционноспособная частица – синглетный нитрен. Суммарная степень прямой

**Таблица 3.** Данные по пиперидиновому расщеплению мишени после облучения при разных длинах волн в течение 5 ч\*

Фотомодификация	$\lambda$ , нм	Немодифицированная мишень	Общая степень модификации	Нерасщепившиеся аддукты	Расщепление по остаткам			
					T <sup>10</sup>	G <sup>11</sup>	A <sup>12</sup>	T <sup>13</sup>
Прямая, дуплекс (1)	330–365	46	54	31	0	23	0	0
	365–390	57	43	24	0	18	1	0
	400–580	88	12	0	0	12	0	0
	365–580	53	47	8	10	25	2	2
Сенсибилизированная, комплекс (2)	330–365	57	43	18	0	25	0	0
	365–390	44	56	21	2	31	2	0
	365–580	44	56	18	4	8	4	22
	365–390	27	73	23	1	31	11	7
комплекс (3)	400–580	80	20	10	0	10	0	0
	365–580	26	74	18	4	13	4	32

\* Приведен состав реакционной смеси (%) в соответствии с рис. 6.

фотомодификации максимальна (54%) при облучении в УФ-диапазоне (330–365 нм), т.е. в том диапазоне, где азид R наиболее фотоактивен.

В случае сенсибилизированной фотомодификации основной точкой расщепления мишени пиримидином является основание G<sup>11</sup> при облучении только УФ-светом или только видимым светом. При одновременном облучении и УФ- и видимым светом в комплексах (2) и (3) фотомодификация протекает преимущественно по основанию T<sup>13</sup>. Фотомодификация по основанию G<sup>11</sup> наблюдается, но в значительно меньшей степени. Комплémentарно-адресованная фотомодификация по пиримидиновым основаниям была отмечена ранее для нитроарилазидов [6], для которых характерно образование триплетного нитрена. Следовательно, полученные данные по пиримидиновому расщеплению продуктов фотомодификации ДНК-мишени согласуются с предполагаемым двухквантовым триплет-триплетным механизмом сенсибилизации.

В целом одновременное облучение УФ- и видимым светом позволяет дополнительно ускорить сенсибилизированную фотомодификацию. В этих условиях начальная скорость сенсибилизированной фотомодификации в 315 раз выше прямой.

Обнаруженный эффект изменения реакционной способности фотопротеина в зависимости от условий облучения и предполагаемый двухквантовый механизм сенсибилизации, безусловно, нуждается в дальнейшем изучении и уточнении, но уже сейчас открывает новые возможности для использования регулирования реакционной способности в практических целях. Например, при проведении сенсибилизированной фотомодификации в триplexах можно, ничего не меняя в системе, направлять фотопротеин либо на пуриновую цепь, либо на пиримидиновую. Данный подход по регуляции реакционной способности с помощью одно- и двухквантовой сенсибилизации может иметь большое значение и для изучения белково-нуклеиновых взаимодействий в сложных биологических комплексах – хроматин, рибосомы, репликативный комплекс и т.д., так как дает возможность избирательно проводить модификацию либо белка, либо нуклеиновой кислоты в месте их контакта.

## ЭКСПЕРИМЕНТАЛЬНАЯ ЧАСТЬ

Синтез и свойства использованных в работе олигонуклеотидных производных описаны ранее [1].

**Фотомодификация ДНК-мишени (M).** Реакционные смеси (5 мкл), содержащие 100 нМ ДНК-мишень и 50 мкМ олигонуклеотидные производные (реагент и сенсибилизатор) в буферной системе (6 мМ Na<sub>2</sub>HPO<sub>4</sub> (pH 7.6), 0.2 М NaCl и 0.02 мМ

EDTA), помещали в цилиндрические лунки диаметром 4 мм иммунологических планшетов, закрывали крышками, охлаждали до 4°C и облучали светом ртутной лампы ДРК-120 осветителя КФ-4М (ЛОМО, Санкт-Петербург) через следующие наборы стеклянных светофильтров ( $\lambda$ , нм; W, мВт см<sup>-2</sup>): ЖС-3, УФС-2 (300–315; 0.1); БС-6, УФС-6 (330–365; 0.3); БС-7, УФС-5 (365–390; 0.15); БС-6, УФС-5 (330–390; 0.5); ЖС-10, ПС-13 (400–415; 0.1); ЖС-11, СС-15 (415–455; 0.15); ЖС-10, СС-2 (400–580; 0.95); БС-7, СС-2 (365–580; 1.1). Интенсивность падающего на образцы УФ-света определяли с помощью ферриоксалатного актинометра [21], видимого – с помощью люксметра Ю-117 [22]. Уменьшение объема раствора образцов, связанное с испарением, не превышало 20%. После облучения образцы (2 мкл) смешивали с 5 мкл раствора 7 М мочевины, содержащего 0.1% бромфенолового синего и 0.1% ксиленцианола FF, и анализировали методом 20% ПААГ-электрофореза (0.05 М трис-борат, pH 7.4). Экспонирование геля на рентгеновской пленке РМ-В с усиливающим экраном проводили в течение 8–24 ч при –10°C. Радиоавтографы гелей сканировали на лазерном денситометре 2222 Ultroskan-XL (LKB, Швеция).

Настоящая работа была поддержанана Международным научным фондом (грант № RCU 300), малым грантом Министерства энергетики США (программа “Геном человека”), Международным грантом INSERM № 94-E0-08 и грантом РФФИ № 95-03-080706а.

## СПИСОК ЛИТЕРАТУРЫ

1. Добриков М.И., Гайдамаков С.А., Кошкин А.А., Гайнутдинов Т.И., Лукьянчук Н.П., Шишкин Г.В., Власов В.В. // Биоорган. химия. 1997. Т. 23. С. 191–199.
2. Helene C., Toulme J.J. // Biochim. Biophys. Acta. 1990. V. 1049. P. 99–125.
3. Geiger M.W., Elliot M.M., Karacostas V.D., Moriccone T.J., Salmon J.B., Sideli V.L., Onge M.A. // Photochem. Photobiol. 1984. V. 40. P. 545–548.
4. Pathak M.A., Fitzpatrick T.B. // J. Photochem. Photobiol. B: Biology. 1992. V. 14. P. 3–22.
5. Добриков М.И., Зарытова В.Ф., Комарова Н.И., Левина А.С., Лохов С.А., Приходько Т.А., Шишкин Г.В., Табатадзе Д.Р., Заалишвили М.М. // Биоорган. химия. 1992. Т. 18. С. 540–549.
6. Добриков М.И., Горн В.В., Зарытова В.Ф., Левина А.С., Приходько Т.А., Шишкин Г.В., Табатадзе Д.Р., Заалишвили М.М. // Биоорган. химия. 1992. Т. 18. С. 1190–1196.
7. Левина А.С., Табатадзе Д.Р., Зарытова В.Ф., Добриков М.И., Горн В.В., Халимская Л.М. // Биоорган. химия. 1994. Т. 20. С. 21–29.

8. Levina A.S., Berezovskii M.V., Venjamineva A.G., Dobrikov M.I., Repkova M.N., Zarytova V.F. // Biochimie. 1993. V. 75. P. 25–27.
9. Добриков М.И., Дудко Р.Ю., Шишкин Г.В. // Биоорганическая химия. 1996. Т. 22. С. 191–199.
10. Добриков М.И., Гайдамаков С.А., Кошкин А.А., Лукьянчук Н.П., Шишкин Г.В., Власов В.В. // Докл. РАН. 1995. Т. 344. С. 122–125.
11. Schnapp K.A., Poe R., Leyva E., Soundararajan N., Platz M.S. // Bioconj. Chem. 1993. V. 4. P. 172–177.
12. Schnapp K.A., Platz M.S. // Bioconj. Chem. 1993. V. 4. P. 178–183.
13. Leyshon L.J., Reiser A. // J. Chem. Soc. Faraday Trans. 2. 1972. P. 1918–1927.
14. Алфимов М.В., Назаров В.Б., Якушева О.Б. // Успехи научн. фотографии. 1978. Т. 19. С. 229–238.
15. Geacintov N.E., Zhao R., Kuzmin V.A., Kim S.K., Pecora L.J. // Photochem. Photobiol. 1993. V. 58. P. 185–194.
16. Labhart H., Heinzermann W. // Organic Molecular Photophysics. V. 1 / Eds J.B. Birks. London; New York; Toronto; Sydney: Wiley, 1973. P. 297–355.
17. Wilkinson F. // Organic Molecular Photophysics. V. 2 / Eds J.B. Birks. London; New York; Toronto; Sydney: Wiley, 1975. P. 95–158.
18. Birks J.B. // Organic Molecular Photophysics. V. 1 / Eds J.B. Birks. London; New York; Toronto; Sydney: Wiley, 1973. P. 1–55.
19. Poe R., Schnapp K., Young M.J.T., Grayzar J., Platz M.S. // J. Am. Chem. Soc. 1992. V. 114. P. 5054–5067.
20. Кочетков Н.К., Будовский Э.И., Свердлов Е.Д., Симукова Н.А., Турчинский М.Ф., Шибаев В.Н. Органическая химия нуклеиновых кислот. М.: Химия, 1970. С. 310–400.
21. Калверт Дж., Питтс Дж. Фотохимия: Пер. с англ. М.: Мир, 1968. С. 635.
22. Соколов М.В. Прикладная биофотометрия. М.: Наука, 1982. С. 79–116.

## Sensitized Photomodification of DNA with Binary Systems. II. Spectral Photosensitivity: One- and Two-Photon Sensitization

**М. И. Добриков\*, С. А. Гайдамаков\*\*, А. А. Кошкин\*,  
Н. П. Лук'янчук\*, Г. В. Шишкин\*, и В. В. Власов\***

\* Novosibirsk Institute of Bioorganic Chemistry, Siberian Division, Russian Academy of Sciences,  
prosp. Akademika Lavrent'eva 8, Novosibirsk, 630090 Russia

\*\* Institute of Molecular Pathology and Ecological Biochemistry, Siberian Division, Russian Academy of Medical Sciences,  
ul. Timakova 2, Novosibirsk, 630090 Russia

**Abstract**—The efficiency of the photomodification of target single-stranded DNA with a decanucleotide derivative of *p*-azidotetrafluorobenzamide (direct photomodification) and with its complexes with decanucleotide derivatives of pyrene complementary to the adjacent segment of the target (sensitized photomodification) was studied as a function of the wavelength of long-wave UV light. The sensitized photomodification occurs mainly by singlet–singlet energy transfer from pyrene to azide in their complementary complex, which allows a significant increase in the rate and level of photomodification. When irradiation occurred simultaneously in the UV and visible regions (365–580 nm), two-photon triplet–triplet sensitization was revealed for the first time, which leads to a still greater acceleration of the target modification and a change of its site-direction from the G<sup>11</sup> to T<sup>13</sup> residue. The change of the mode of sensitization depending on the irradiation conditions allows the regulation of the reactivity of the binary system of oligonucleotide derivatives without altering their composition.

**Key words:** perfluoroarylazides, two-photon sensitization, energy transfer, sensitized DNA photomodification